СИСТЕМНЫЕ ПРОБЛЕМЫ НАДЁЖНОСТИ, КАЧЕСТВА, МАТЕМАТИЧЕСКОГО МОДЕЛИРОВАНИЯ И ИНФОТЕЛЕКОММУНИКАЦИОННЫХ ТЕХНОЛОГИЙ В ИННОВАЦИОННЫХ ПРОЕКТАХ

Коллективная монография

Под отв. редакцией д.т.н., проф. НИУ ВШЭ Кофанова Ю.Н.

Москва





Национальный исследовательски университет «Высшая школа экономики»

Научная школа «Асоника»

СИСТЕМНЫЕ ПРОБЛЕМЫ НАДЁЖНОСТИ, КАЧЕСТВА, МАТЕМАТИЧЕСКОГО МОДЕЛИРОВАНИЯ И ИНФОТЕЛЕКОММУНИКАЦИОННЫХ ТЕХНОЛОГИЙ В ИННОВАЦИОННЫХ ПРОЕКТАХ

Коллективная монография

Под отв. редакцией д.т.н., проф. НИУ ВШЭ Кофанова Ю.Н.

Москва

2014

УДК 629.7.017.019.3 ББК 30.14 С82

Репензенты:

доктор технических наук, профессор А.Г. Варжапетян, доктор технических наук, профессор Н.С. Данилин

С82 Системные проблемы надёжности, качества, математического моделирования и инфотелекоммуникационных технологий в инновационных проектах. / Коллективная монография под отв. ред. профессора НИУ ВШЭ Ю.Н. Кофанова; — М.: НИУ ВШЭ, 2014. — 532 с.— 500 экз.

ISBN 978-5-7598-1198-2.

Содержание монографии составили результаты многолетней работы членов коллектива Научной школы «Автоматизированная система обеспечения надёжности и качества аппаратуры АСОНИКА» Национального исследовательского университета «Высшая школа экономики» (научный руководитель школы — академик РАЕН, д.т.н., проф. Ю.Н. Кофанов) и многолетнего сотрудничества авторов, работы которых представлены в виде отдельных параграфов данной монографии. Окончательная структура монографии сформировалась в процессе обсуждения современных проблем надёжности, решаемых путём математического моделирования электронного оборудования различного назначения. Большую роль сыграли обсуждения данных проблем на ежегодных Международных научно-технической конференциях, проводимых Научной школой «АСОНИКА».

Главы 2 и 3 написаны редактором монографии профессором НИУ ВШЭ Кофановым Ю.Н.

Монография рассчитана на широкий круг специалистов, работающих в области инфотелекоммуникационных технологий, реализуемых в инновационных проектах ответственного назначения.

УДК 629.7.017.019.3 ББК 30.14

ISBN 978-5-7598-1198-2

Глава 1 СИСТЕМНЫЙ ПОДХОД К ПРОЕКТИРОВАНИЮ ИЗДЕЛИЙ ДЛЯ РАКЕТНО-КОСМИЧЕСКОЙ И АВИАЦИОННОЙ ТЕХНИКИ

1.1. МИКРОМИНИАТЮРНЫЕ КОМПЛЕКТУЮЩИЕ ЭЛЕКТРОННЫЕ КОМПОНЕНТЫ НОВОГО ПОКОЛЕНИЯ ДЛЯ МАЛЫХ СПУТНИКОВ

Сравнительный анализ динамики развития космической микроэлектроники в США, Японии, ЕС и Китая с одной стороны и России с другой, показывает перспективы развития отечественной электронной промышленности в таких приоритетных направлениях, как космическое приборостроение, атомная энергетика и высокоточные интеллектуальные системы вооружения.

Особенностью указанных продвинутых областей является большая номенклатура микроэлектронных компонентов (более 4600 типов) при малых количествах по каждой позиции (от 10 до 1000 штук в год). К этим компонентам предъявляются жесткие требования по радиационной стойкости (от 100 Крад до 1 Мрад) и надежности (до 20 лет безотказной работы).

Накопленный опыт отечественных разработчиков позволяет быстро с технической и экономической точки зрения решать подобную задачу, создавать изделия на мировом уровне с учетом миниатюризации, многофункциональности и минимального энергопотребления.

Ведущие мировые фирмы космического и оборонного сегментов уже около 20 лет используют в своих изделиях так называемые Системы в Корпусе (СвК) (System in Package), где на смену электронно-компонентной базы (ЭКБ) пришли микросистемы в корпусе.

Тем самым достигается миниатюризация изделия (вес, габариты), увеличивается его функциональность и снижается энергопотребление. При этом цикл «разработка - выпуск» сокращается до нескольких недель (программа «microsatellite in six days»).

В России сегодня есть 100% возможность разрабатывать и производить свои отечественные СвК.

В настоящей работе обсуждается концепции применения гибридных интегрированных систем в корпусе в качестве современной ЭКБ "макроуровня" для построения микроспутниковых систем на примере действующей в США практики с анализом сопутствующих проблем и экономических асспектов.

В течение последных десяти лет на мировом космическом рынке твердо установилась тенденция разработки и производства микроспутниковых систем (массой от 1 до нескольких десятков килограммов). В зависимости от массовой характеристки космического аппарата введена условная классификация — микро, нано и пико спутники. В настоящей работе, без нарушения общности, используется термин "микроспутник", посколько речь идет о применении систем в корпусе для их реализации. Микроспутник стали весьма значимыми для потенциальных потребителей из-за их существенно редуцированной стоимости и значительно сокращенного цикла реализации. Одновременно во многих областях промышленности стали широко разрабатываться и применяться изделия микросистемотехники и субмикронных полупроводииковых технологий (МЭМС, системы на кристаллах и системы в корпусе). Это позволило реализовать множество миссий микроспутниковыми системами (в том числе и распределенными спутниковыми архитектурами) за счет традиционных решений, наработанных на основе классических спутниковых систем. На орбите появились целые микроспутниковые кластерные формации типа американской Ionospheric Observation Nanosate Ilite Formation (ION-F).

В работе рассматриваются концепции применения гибридных интегрированных систем в корпусе в качестве современной ЭКБ "макроуровня" для построения микроспутниковых систем на примере действующей в США практике с анализом сопутствующих проблем и экономических аспектов

[©] Кофанов Ю.Н., 2014

Национальный исследовательский университет «Высшая школа экономики», 2014

СПИСОК АВТОРОВ

№ параграфа
6.7.
6.24.
1.9.
6.6.
6.24.
5.9., 5.10.
4.8.
7.1.
7.7.
4.5.
7.11.
5.8.
1.2., 5.1., 5.5.
6.6., 7.4.
1.1.
4.7.
5.3.
7.1.
6.16.
5.6.
6.10.
4.11., 5.3., 5.4., 5.6
1.8.
1.9.
1.1.
6.15.
1.1.
5.9., 5.10.
5.9., 5.10.
7.6.
7.2.
7.2.
4.10.
4.11., 5.6.
6.2.
4.12.
7.8.
6.12., 6.13.
4.9., 5.2.
5.9., 5.10.
6.20.
6.25.
7.10.
7
6.22.

Авторы параграфа	№ параграфа
Киселева Т.В.	6.21.
Киселевич В.П.	1.6., 5.7.
Киянова Л.Д.	6.9., 6.17.
Клячкин В.Н.	1.6., 5.7.
Колбас Ю.Ю.	4.11., 5.4., 5.6.
Коновалов С.Ф.	5.4.
Косарев И.М.	6.12., 6.13.
Котов Н.И.	1.2., 5.1., 5.5.
Кофанов Ю.Н.	2.1., 2.2., 3.1., 3.2. 4.6.
Коханова В.С.	6.23.
Кравец А.Г.	7.12.
Крамаров С. О.	1.3., 1.5., 5.15.
Красноплахтич М.В.	6.3.
Кривонос К.К.	6.14.
Кроваткин М.В.	5.3.
Крутиков А.П.	4.11.
Ксенофонтов А.А.	
	6.12., 6.13.
Ксенофонтов А.С.	6.24.
Куликов О.Е.	4.3.
Куприянов А.А.	5.14.
Курдыбанская А.И.	5.6.
Кшенский О.Н.	1.10.
Леонтьева А.В.	7.9.
Литвиненко И.Л.	6.19.
Литвинова Т. И.	6.18.
Лобанов П.Ю.	1.8.
Лукасевич В.И.	1.5.
Малов А.В.	4.3.
Манохин А.И.	4.6.
Мануйлович И.С.	1.8.
Маслова Е.В.	6.21.
Махаев А.Ю.	1.2.
Миронова О.А.	6.8.
Моисеев А.А.	5.9., 5.10.
Мусаелян А.К.	6.11.
Невелев В.А.	6.16.
Новиков С.С.	1.7.
Палагина А.Н.	6.4.
Петрухин Е.А.	1.9.
Пимнева Л.А.	5.9., 5.10.
Потапова Т.А.	1.7.
Поярков В.Н.	1.10.
Прусаков М.И.	4.2., 4.4.
Пухлий В.А.	5.8.
Сабиров И.	1.1.

Савельев И.И.	1.7., 5.3.
Садеков Р.Н.	5.1.
Светашев С.С.	7.8.
Семененко А.Н.	4.3., 4.5.
Сергиенко Л.С.	7.5.
Сидорюк О. Е.	1.8.
Скопин К.А.	5.3.
Слободин В.С.	5.12.
Смирнов Д.В.	5.5.
Соловьева Т.И.	4.11., 5.4., 5.6., 7.7.
Сотникова С.Ю.	4.1.
Стефанюк В.Л.	5.13.
Темкин И.О.	7.9.
Терентьева А.В.	5.11.
Титова О.В.	7.12.
Ткачук Е. О.	5.15.
Томилин А.В.	5.4.
Туманова И.Ю.	6.1.
Туник С.И.	5.7.
Турин В.О.	1.10.
Форост Е.В.	6.9.
Халитова И. В.	6.5.
Хлебников П.А.	1.7.
Храмов В.В.	1.3.
Чивилев А.Д.	4.9., 5.2.
Чикарина Л.Я.	7.1.
Шалумов М.А.	4.3.
Шелков Е.А.	4.8.
Шуклин И.И.	5.9., 5.10.
Ястребов А.П.	7.3.
Ястребова Л.В.	7.3.

SALES OF STREET

patenting 1 - 1 - 1 - 1 - 1 - 1 - 1 - 1 - 1 - 1

M - 1 - 1 - 1 - 1 - 1 - 1 - 1 - 1 - 1 -

ОГЛАВЛЕНИЕ Глава 1

	Системный подход к проектированию изделий для ракетно-космической и авиационной техники
.1.	Микроминиатюрные комплектующие нового поколения для малых спутников
.2.	Обоснование закона формирования уводящих траекторий, не распознаваемых встроенной системой контроля целостности интегрированных инерциально-
.3.	спутниковых навигационных систем
	земной поверхности
.4.	Программно-информационная и методическая поддержка задач технического обслуживания и ремонта оборудования на основе системного подхода
.5.	Синтез стохастической модели бесплатформенной инерциальной навигационной системы при движении объекта по ортодромии
.6.	Комплексное оценивание процесса технологической тренировки электроиного устройства
.7.	Информационная система поддержки производства кольцевых лазеров
.8.	Лазерная интерферометрия для анализа сложных поверхностей
.9.	Влияние внешних источников рассеяния на полосу захвата кольцевого Не-Ne лазера с длиной волны 0,63 мкм
.10.	Моделирование в CAПР SYNOPSIS TCAD мощных биполярных транзисторов после облучения их быстрыми нейтронами
	Глава 2
M	оделирование физических процессов в конструкциях радиоэлектронных средс
2.1.	Развитие моделирования физических процессов в радиоэлектронных
2.2.	конструкцияхПринципы моделирования физических процессов радиоэлектронных
	конструкций
	Глава 3
К	омплексное моделирование взаимосвязанных процессов разнородной физичест
	природы
3.1.	Особенности радиоэлектронных конструкций с точки зрения моделирования
3.2.	протекающих физических процессов
J.4.	конструкций
	Глава 4
	Проблемы математического моделирования при обеспечении высокой надежности и качества бортовой аппаратуры
4.1.	Повышение качества автоматизированного проектирования электронных средств на основе комплексирования физической и математических моделей
	средств на основе комплексирования физической и математических моделеи

4.2.	Разработка электротепловых моделей радиоэлементов	120
4.3.	Разработка методик и методов для моделирования тепловых процессов в радиоэлектронных средствах произвольной конструкции	10
4.4.	Электротепловое моделирование радиотехнических устройств с помощью	127
4.5.	программы Micro-CAP	132
4.6.	тепловые воздействия	136
4.7.	воздействиях	144
4.8.	радиоэлектронных средств	154
4.9.	интенсивности	16
4.10.	винт-гайка скольжения	168
4.11.	надёжности РЭА	176
4.12.	лазерного гироскопа	185
	режимов работы радиоэлементов.	194
	Глава 5	
	0.10000000	
	Проблемы анализа, оптимизации и принятия решений в	
5.1.	Проблемы анализа, оптимизации и принятия решений в сложных многокритериальных инновационных проектах Многоальтернативный подход в задаче коррекции систем счисления пути по	20
5.1. 5.2.	Проблемы анализа, оптимизации и принятия решений в сложных многокритериальных инновационных проектах Многоальтернативный подход в задаче коррекции систем счисления пути по информации цифровых карт дорог. Многовариантный многокритериальный анализ и выбор механических	20
	Проблемы анализа, оптимизации и принятия решений в сложных многокритериальных инновационных проектах Многоальтернативный подход в задаче коррекции систем счисления пути по информации цифровых карт дорог.	20° 20° 21°
5.2.	Проблемы анализа, оптимизации и принятия решений в сложных многокритериальных инновационных проектах Многоальтернативный подход в задаче коррекции систем счисления пути по информации цифровых карт дорог	203
5.2. 5.3.	Проблемы анализа, оптимизации и принятия решений в сложных многокритериальных инновационных проектах Многоальтернативный подход в задаче коррекции систем счисления пути по информации цифровых карт дорог	203
5.2.5.3.5.4.	Проблемы анализа, оптимизации и принятия решений в сложных многокритериальных инновационных проектах Многоальтернативный подход в задаче коррекции систем счисления пути по информации цифровых карт дорог Многовариантный многокритериальный анализ и выбор механических приводов зеркальных антенн Оптимизация упругих элементов датчиков лазерных гироскопов Исследования и сравнительные испытания акселерометров в штатиом инерциальном измерительном блоке Инновационные результаты разработок в межрегиональном общественном учреждении «Институт инженерной физики» в области навигационного обеспечения наземных подвижных объектов Оценка погрешностей вычисления координат бесплатформенными	203
5.2.5.3.5.4.5.5.	Проблемы анализа, оптимизации и принятия решений в сложных многокритериальных инновационных проектах Многоальтернативный подход в задаче коррекции систем счисления пути по информации цифровых карт дорог Многовариантный многокритериальный анализ и выбор механических приводов зеркальных антенн Оптимизация упругих элементов датчиков лазерных гироскопов Исследования и сравнительные испытания акселерометров в штатном инерциальном измерительном блоке Инновационные результаты разработок в межрегиональном общественном учреждении «Институт инженерной физики» в области навигационного обеспечения наземных подвижных объектов	203 214 219
5.2.5.3.5.4.5.5.	Проблемы анализа, оптимизации и принятия решений в сложных многокритериальных инновационных проектах Многоальтернативный подход в задаче коррекции систем счисления пути по информации цифровых карт дорог Многовариантный многокритериальный анализ и выбор механических приводов зеркальных антенн Оптимизация упругих элементов датчиков лазерных гироскопов Исследования и сравнительные испытания акселерометров в штатном инерциальном измерительном блоке Инновационные результаты разработок в межрегиональном общественном учреждении «Институт инженерной физики» в области навигационного обеспечения наземных подвижных объектов Оценка погрешностей вычисления координат бесплатформенными инерциальными навигационными системами Статистический контроль процесса пайки в печатных платах Надежность и долговечность биметаллических конструкционных элементов	203 214 219 223 236
5.2.5.3.5.4.5.5.5.6.5.7.	Проблемы анализа, оптимизации и принятия решений в сложных многокритериальных инновационных проектах Многоальтернативный подход в задаче коррекции систем счисления пути по информации цифровых карт дорог. Многовариантный многокритериальный анализ и выбор механических приводов зеркальных антенн Оптимизация упругих элементов датчиков лазерных гироскопов. Исследования и сравнительные испытания акселерометров в штатном инерциальном измерительном блоке Инновационные результаты разработок в межрегиональном общественном учреждении «Институт инженерной физики» в области навигационного обеспечения наземных подвижных объектов Оценка погрешностей вычисления координат бесплатформенными инерциальными навигационными системами Статистический контроль процесса пайки в печатных платах Надежность и долговечность биметаллических конструкционных элементов ядерной энергетики в условиях коррозионного воздействия. Оценка точности решения обратной задачи моделирования многомерных автокорреляционных характеристик надежности контактных наноструктуриро-	20; 21; 21; 22; 23;
5.2.5.3.5.4.5.5.5.6.5.7.5.8.	Проблемы анализа, оптимизации и принятия решений в сложных многокритериальных инновационных проектах Многоальтернативный подход в задаче коррекции систем счисления пути по информации цифровых карт дорог Многовариантный многокритериальный анализ и выбор механических приводов зеркальных антенн Оптимизация упругих элементов датчиков лазерных гироскопов Исследования и сравнительные испытания акселерометров в штатном инерциальном измерительном блоке Инновационные результаты разработок в межрегиональном общественном учреждении «Институт инженерной физики» в области навигационного обеспечения наземных подвижных объектов Оценка погрешностей вычисления координат бесплатформенными инерциальными навигационными системами Статистический контроль процесса пайки в печатных платах Надежность и долговечность биметаллических конструкционных элементов ядерной энергетики в условиях коррозионного воздействия Оценка точности решения обратной задачи моделирования многомерных автокорреляционных характеристик надежности контактных ианоструктурированных сверхпроводящих элементов.	20; 214 219 22; 236 236

	Возможности использования нечетко-нейронных технологий в задачах поддержки принятия решений в сложных технических системах	273
5.12.	Прогнозирование загруженности адаптивных систем с использованием самоорганизующейся инкрементальной нейронной сети	282
5.13.	Самоорганизующейся инкрементальной неирогной сети Конечный автомат для измерения нечеткости	290
5.14.	Проблемы и приемы инфологического моделирования информационного	293
5.15.	взаимодействия автоматизированных систем	293
	решений организационного управления	299
Эк	Глава 6 ономические проблемы повышения эффективности инновационных проектог различных областях деятельности	в в
	различных областих деятельности	
6.1.	Приоритетные направления развития региональных экономических систем в	201
6.2.	условиях финансового кризиса	301
0.2.	сильной неопределенности на основе когнитивной технологии	307
6.3.	Роль программно-целевого подхода в обеспечении условий инновационного	317
6.4.	развития регионов	317
	через совершенствование государственной поддержки инфраструктуры	323
6.5.	Управление организационной готовностью к изменениям как фактор	332
6.6.	повышения успешности инновационных проектов	332
	развития региональных инновационных проектов	339
6.7.	Инвестиционные механизмы обеспечения устойчивого национального и регионального экономического роста	344
6.8.	Региональная промышленная политика как инструмент обеспечения	247
	экономической безопасности на мезоуровне	353
6.9.	Классификация регионов	362
6.10. 6.11.	Роль электроэнергетической инфраструктуры в инновационном развитии Налоговое стимулирование инновационной деятельности	366 368
	STANDARD CONTROL OF STANDARD AND STANDARD CONTROL OF STANDARD CONT	
6.12.	Исследование динамики налоговых поступлений в центральном федеральном округе в 2006-2011 гг	373
6.13.	Анализ налоговых доходов субъектов РФ по видам экономической	
6.14.	деятельности (на примере Приволжского федерального округа)	377
0.14.	области	385
6.15.	Проблематика инноваций в Ростовской области	390
6.16.		0000000
6.17.	предприятий автомобилестроения России с учётом человеческого фактора Пути повышения инновационной активности в агропромышленном комплексе	394
0.17.	региона	399
6.18.		409
6.19.	Трансформация инновационных систем ведущих экономик мира	41
6.20.	Инновационные подходы в маркетинговой политике транснациональных	
	корпораций	42

6.22. 6.23.	Анализ и управление рисками ит-сервиса на всех стадиях его жизненного цикла Инновации на пути преодоления информационной асимметрии рынка гостиничных услуг в регионе Развитие и роль финансовой инженерии в банковской системе РФ	426 432 437
		437
6.24.	Роль кредитного риска в снижении уровня участия коммерческих банков в инвестиционных программах	443
6.25.	Маркетинг на рынке ценных бумаг	448
	· ·	
	Глава 7	
	Проблемы повышения качества подготовки молодых специалистов	
7.1.	Государственная политика использования информационно-коммуникационных	
	технологий в системе высшего профессионального и дополнительного	
	образования	457
7.2.	Система менеджмента качества в вузе: проблемы внедрения и необходимость	463
7.3.	развитияПовышение качества образования - важнейшая задача инновационного развития	40.
	BY30B	468
7.4.	Разработка методологии кадрового обеспечения инновационных проектов	
	региона	474
7.5.	Формирование кадрового потенциала для обеспечения инновационного	
	развития предприятий реального сектора экономики	482
7.6. 7.7.	Анализ инструментов активизации продаж в сфере образовательных услуг Магистерская программа «Интеллектуальные лазерные навигационные	486
1.1.	магистерская программа «интеллектуальные лазерные навигационные системы» в МИЭМ НИУ ВШЭ — совместный проект высшей школы и	
	отраслевого предприятия для подготовки нового поколения	
	высококвалифицированных специалистов.	496
7.8.	Элементы Форсайта в кадровом обеспечении региональных инвестиционных	
	проектов	501
7.9.	Выбор стратегии функционирования вуза на основе мультиагентного	50.
7.10.	моделирования системы высшего профессионального образования	508
7.11.	Построение интеллектуального интерфейса пользователя на основе	300
,	моделирования интуиции	509
7.12.	Управление практико-ориентированным обучением в системах среднего и	00000000
	высшего образования	514

Коллективная монография

СИСТЕМНЫЕ ПРОБЛЕМЫ НАДЁЖНОСТИ, КАЧЕСТВА, МАТЕМАТИЧЕСКОГО МОДЕЛИРОВАНИЯ И ИНФОТЕЛЕКОММУНИКАЦИОННЫХ ТЕХНОЛОГИЙ В ИННОВАЦИОННЫХ ПРОЕКТАХ

Под отв. редактированием д.т.н. проф. НИУ ВШЭ Ю.Н. Кофанова

Зав. редакцией Бережнова Е.А.

Литературный редактор М.Б. Давыдова Технический редактор А.Р. Абдулхаев Корректор А.С. Яковлев Компьютерный набор Д.С. Папасик

Национальный исследовательский университет «Высшая школа экономики» 101000, Москва, ул. Мясницкая, 20 Тел./факс: (499) 611-15-52

Изд. № 3. Сдано в набор 12.09.2014
Подписано в печать 28.09.2014. Формат 60×90 1/16.
Бумага офсетная. Гарнитура Таймс.
Печать офсетная
Печ. л. 33,8. Тираж 500 экз.

Издательство НИУ ВШЭ

- программно-математический комплекс обработки сигналов ПЗС-матрицы, обеспечивающий высокоточное определение энергетических центров изображений с последующим измерений углов между ними.

Особенности применения ACOA по предназначению: размещение AB на специальном фундаменте, ориентированном в направлении истинного меридиана; обеспечение видимости Полярной звезды через астроиллюминатор (высота от пола до AИ не более 4 m).

Стенд поверок геодезических средств оборудуется универсальным коллиматорным стендом VEGA-УКС, установкой эталонирования гравиметров и стендом поверки геодезической спутниковой аппаратуры.

На геодезическом полигоне специальной сетью ориентирных пунктов и промежуточных знаков создаются рабочие места по поверкам дальномеров и нивелиров.

Инновационные разработки МОУ «ИИФ» в области навигационного обеспечения подвижных наземных объектов позволили создать качественно новый тип интегрированных инерциально-геоинформационных систем, которые без потери свойства автономности исключают нарастание погрешностей. Автоматическая система определения астрономического азимута, имеющая уникальные точностные характеристики обеспечивает создание метрологических комплексов поверок и калибровок самых высокоточных приборов автономного азимутального ориентирования.

5.6. ОЦЕНКА ПОГРЕШНОСТЕЙ ВЫЧИСЛЕНИЯ КООРДИНАТ БЕСПЛАТФОРМЕННЫМИ ИНЕРЦИАЛЬНЫМИ НАВИГАЦИОННЫМИ СИСТЕМАМИ

Проведение исследований погрешностей определения координат бесплатформенными инерциальными навигационными системами (БИНС), используемыми для управления движением объекта по заданной траектории, необходимо для каждого конкретного практического применения системы с тем или иным комплектом датчиков. При этом ставится задача получить соотношения, позволяющие сформулировать реальные требования к точности конструктивной привязки и инструментальным погрешностям датчиков инерциального измерительного блока (ИИБ), обеспечивающие заданную точность управления движением объекта.

При разработке программно-математического обеспечения (ПМО) БИНС объект отождествляется с ортогональной декартовой системой координат, жестко связанной с объектом (СВСК). В конструктивном исполнении такая система координат может быть реализована, например, нормалями к граням куба, выполненного с высокой точностью и жестко связанного с ИИБ, состоящим из трех лазерных гироскопов (ЛГ) и трех маятниковых акселерометров (МА).

В используемых в ПМО БИНС алгоритмах интегрирования уравнений инерциальной навигации предполагается, что входная информация, поступающая от датчиков ИИБ, задана на ортогональных осях СВСК. Технология изготовления ИИБ не позволяет, однако, изначально выставить измерительные оси датчиков ЛГ и АМ параллельно одноименным осям СВСК с требуемой точностью. В связи с этим возникает необходимость измерения этих углов, называемых углами конструктивной привязки, на этапе паспортизации ИИБ (см. рис. 1).

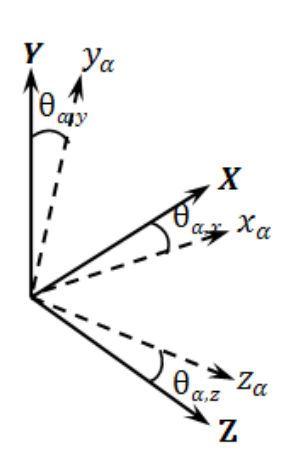


Рисунок 1 – X, Y, Z – оси СВСК, x_{α} , y_{α} , z_{α} – измерительные оси датчиков ЛГ (α = q) или МА (α = a), $\theta_{\alpha, x, y, z}$ – углы конструктивной привязки

Исследования показали, что погрешности определения углов конструктивной привязки и смещений нулей MA являются определяющими факторами уходов координат от заданной траектории движения.

Описание траектории движения. В работе рассматривается упрощенный частный случай, когда объект движется по вертикали до верхней точки и опускается вниз. Это позволяет существенно упростить математические вычисления, не снижая общности полученных оценок.

Для получения оценочных соотношений рассмотрены только три временных интервала движения, в течение которых происходят, главным образом, накопления ошибочных скоростей: этап установления начальной ориентации объекта; этап разгона; этап движения по инерции.

Начало отсчета времени соответствует началу интегрирования уравнений навигации. В интервале $0 \ c < t \le 15 \ c$ осуществляется выставка начальной ориентации объекта.

В дальнейших расчетах принято, что начальная выставка состоит в переводе СВСК из позиции «0» в позицию «1» (см. рис. 2). Перевод осуществляется поворотом вокруг оси Z на угол $\varphi = \pi/2$ с постоянной угловой скоростью $\omega_z = \pi/2T_{HO}$, где $T_{HO} = 15$ c (см. рис. 2).



Рисунок 2 — Начальная выставка: (a) — позиция «0»; (б) — позиция «1»; $\varphi = \omega_z \cdot t$

В интервале $15~c < t \le 40~c$ объект движется с кажущимся ускорением $\bar{G}_r = N \cdot \bar{G}$, направленным вдоль оси X, в течение времени $T_{a\kappa} = 25~c$, где N — целое число в интервале $5 \le N \le 10$, \bar{G} - вектор ускорения силы тяжести Земли.

В интервале $t > 40 \, c$ движение происходит по инерции в поле земного тяготения. Сопротивление воздуха в расчетах не учитывается.

Время полета T_{non} определяется соотношениями

$$T_{non} = T_{noo} + T_{cn}, \tag{1}$$

где

$$T_{noo} = T_{a\kappa} + \frac{G_r T_{a\kappa}}{G};$$

$$T_{cn} = \sqrt{\frac{2H_{max}}{G}};$$

$$H_{max} = \frac{T_{a\kappa}^2 G_r}{2} \left(1 + \frac{G_r}{G}\right),$$

 H_{max} – максимальная высота подъема.

Источники погрешности. При пересчете показаний датчиков ЛГ и МА с измерительных осей на оси СВСК возникают погрешности, связанные с погрешностями конструктивной привязки и инструментальными погрешностями ЛГ и МА.

При пересчете проекций показаний акселерометров с осей СВСК на оси сопровождающей системы координат (СОСК), в которой осуществляется интегрирование уравнений навигации, возникают дополнительные погрешности, связанные с погрешностью определения параметров ориентации (α , β , A) CBCK относительно COCK.

В результате этих погрешностей в конце разгонного участка на осях СОСК возникают погрешности проекций скорости, приводящие при дальнейшем интегрировании уравнений навигации к накапливающимся погрешностям определения угловых и линейных координат.

Математическая постановка задачи. Вектор погрешности ускорения определяется соотношением

$$\overline{\Delta a} = \left[\Delta c a_{ij}\right] \cdot \left[d_{ij}\right] \cdot \left[\Delta d_{ij}\right] \cdot \overline{G}; \ i = 1, 2, 3; \ j = 1, 2, 3, \tag{2}$$

где $\overline{\Delta a} = \left[\Delta a_x, \ \Delta a_y, \ \Delta a_z\right]^T$ – вектор погрешности ускорения; $\left[\Delta c a_{ij}\right]$ – матрица погрешности конструктивной привязки измерительных осей МА к осям СВСК;

 $|d_{ii}|$ – матрица ориентации СВСК относительно СОСК, вычисляемая по показаниям датчиков ЛГ при переводе системы из позиции «0» в позицию «1» (см. рис. 2a), при этом

$$[d_{ij}] = \begin{vmatrix} \cos \varphi_{u_{3M}} & \sin \varphi_{u_{3M}} & \Delta c q_{23} \sin \varphi_{u_{3M}} \\ -\sin \varphi_{u_{3M}} & \cos \varphi_{u_{3M}} & -\Delta c q_{13} \sin \varphi_{u_{3M}} \\ -\Delta c q_{23} \sin \varphi_{u_{3M}} & \Delta c q_{13} \sin \varphi_{u_{3M}} & 1 \end{vmatrix},$$
(3)

$$\varphi_{u_{3M}} = \varphi(1 + \Delta k_z), \ \varphi = \omega_z t, \tag{4}$$

 Δk_z — относительная погрешность масштабного коэффициента по оси Z; $\left[\Delta \ c q_{ij} \right]$ – матрица погрешности конструктивной привязки измерительных осей ЛГ к осям СВСК;

 $[\Delta \ d_{ij}]$ – матрица погрешности начальных значений параметров ориентации $lpha,\ eta,\ A$ СВСК относительно СОСК, определяемая как

$$\begin{bmatrix} \Delta d_{ij} \end{bmatrix} = \begin{vmatrix} 1 & \Delta \beta & \Delta A_z \\ -\Delta \beta & 1 & \Delta \alpha \\ -\Delta A_z & -\Delta \alpha & 1 \end{vmatrix}; \tag{5}$$

 $\overline{G} = [0, G, 0]^T$ – вектор ускорения силы тяжести Земли, заданный проекциями на оси СОСК.

В соотношении (3), в целях упрощения записи, из инструментальных погрешностей $\Pi\Gamma$ учтены только погрешности конструктивной привязки и масштабного коэффициента k_{τ} . Смещения нулей ЛГ и другие погрешности малы по сравнению с учтенными более чем на порядок.

Начальная выставка параметров α и β осуществляется с помощью акселерометров. В соответствии с этой методикой погрешности Δ α и Δ β определяются соотношениями

$$\Delta \alpha = \frac{\Delta s a_z}{G} + \Delta c a_{32}; \quad \Delta \beta = \frac{\Delta s a_x}{G} + \Delta c a_{12}, \tag{6}$$

где $\Delta sa_{x,z}$ — остаточные смещения нулей акселерометров по каналам x_a и z_a соответственно.

Расписав уравнение (2) в скалярной форме, получаем

$$\Delta a_{x} = \left(\Delta c a_{11} \left(\Delta \beta \cdot \cos \varphi_{u_{3M}} + \sin \varphi_{u_{3M}} - \Delta \alpha \cdot \Delta c q_{23} \cdot \sin \varphi_{u_{3M}}\right) + \Delta c a_{12} \left(-\Delta \beta \cdot \sin \varphi_{u_{3M}} + \cos \varphi_{u_{3M}} + \Delta \alpha \cdot \Delta c q_{13} \cdot \sin \varphi_{u_{3M}}\right) + \Delta c a_{13} \left(-\Delta \beta \cdot \Delta c q_{23} \cdot \sin \varphi_{u_{3M}} + \Delta c q_{13} \cdot \sin \varphi_{u_{3M}} - \Delta \alpha\right) G_{m};$$

$$(7)$$

$$\Delta a_{y} = \left(\Delta c a_{21} \left(\Delta \beta \cdot \cos \varphi_{u_{3M}} + \sin \varphi_{u_{3M}} - \Delta \alpha \cdot \Delta c q_{23} \cdot \sin \varphi_{u_{3M}} \right) + \Delta c a_{22} \left(-\Delta \beta \cdot \sin \varphi_{u_{3M}} + \cos \varphi_{u_{3M}} + \Delta \alpha \cdot \Delta c q_{13} \cdot \sin \varphi_{u_{3M}} \right) + \Delta c a_{23} \left(-\Delta \beta \cdot \Delta c q_{23} \cdot \sin \varphi_{u_{3M}} + \Delta c q_{13} \cdot \sin \varphi_{u_{3M}} - \Delta \alpha \right) \right) G_{m};$$

$$(8)$$

$$\Delta a_{z} = \left(\Delta c a_{31} \left(\Delta \beta \cdot \cos \varphi_{u_{3M}} + \sin \varphi_{u_{3M}} - \Delta \alpha \cdot \Delta c q_{23} \cdot \sin \varphi_{u_{3M}}\right) + \Delta c a_{32} \left(-\Delta \beta \cdot \sin \varphi_{u_{3M}} + \cos \varphi_{u_{3M}} + \Delta \alpha \cdot \Delta c q_{13} \cdot \sin \varphi_{u_{3M}}\right) + \Delta c a_{33} \left(-\Delta \beta \cdot \Delta c q_{23} \cdot \sin \varphi_{u_{3M}} + \Delta c q_{13} \cdot \sin \varphi_{u_{3M}} - \Delta \alpha\right) G_{m},$$

$$(9)$$

где $G_m = \left\{ egin{array}{ll} G & npu \ 0 \ c < t < 15 \ c \\ G_r & npu \ 15 \ c < t < 40 \ c. \end{array} \right.$

При $\varphi = \pi/2$ из соотношений (7) – (9) в линейном приближении относительно величин Δca_{ij} , Δcq_{ij} , $\Delta \alpha$, $\Delta \beta$, Δk_z получаем

$$\Delta a_y = (\Delta c a_{21} - \Delta c a_{12} + \pi/2 \cdot \Delta k_z - \frac{\Delta s a_x}{G})G_r; \tag{10}$$

$$\Delta a_z = \left(\Delta c a_{31} + \Delta c q_{13} - \Delta c a_{32} - \frac{\Delta s a_z}{G}\right) G_r. \tag{11}$$

Погрешности скоростей в конце разгонного участка определяются из (10) и (11) формулами

$$\Delta V_y = \Delta a_y T_{a\kappa}; \qquad \Delta V_z = \Delta a_z T_{a\kappa}. \tag{12}$$

К концу полета погрешности координат l_y и l_z из (10) — (12) определяются соотношениями

$$l_{y} = \left(\Delta a_{y} + \Delta s a_{y}\right) \frac{T_{a\kappa}^{2}}{2} + \frac{\Delta s a_{y} T_{no\pi}^{2}}{2} + \Delta V_{y} T_{no\pi};$$

$$l_{z} = \left(\Delta a_{z} + \Delta s a_{z}\right) \frac{T_{a\kappa}^{2}}{2} + \frac{\Delta s a_{z} T_{no\pi}^{2}}{2} + \Delta V_{z} T_{no\pi}.$$

$$(13)$$

В расчетах принято, что величины $\triangle ca_{ij}$, $\triangle cq_{ij}$, $\triangle sa_{x,y,z}$, $\triangle k_z$ являются случайными величинами, распределенными по нормальному закону, и задаются статистическими параметрами Mo – математическое ожидание и σ – среднеквадратичное отклонение.

Результаты расчетов для l_z и l_y представлены в таблицах A и B соответственно, где приняты следующие обозначения:

 $Mo_{\Delta ca} = Mo_{\Delta cq}$ — математические ожидания величин $\Delta \ ca_{ij}, \ \Delta \ cq_{ij}$, одинаковые для всех значений индексов i,j;

 $\sigma_{\vartriangle ca} = \sigma_{\vartriangle cq}$ – среднеквадратичные отклонения этих величин;

 $Mo_{\Delta sa}$ – математические ожидания смещений нулей $\Delta sa_{x,y,z}$;

 $\sigma_{\Delta sa}$ – среднеквадратичные отклонения этих величин;

 $Mo_{\Delta k_z}$ – математическое ожидание погрешности Δk_z ;

 $\sigma_{\Delta k_z}$ – среднеквадратичное отклонение этой величины;

 $Mo_{\mathbf{l_{y,z}}}$ – математические ожидания погрешностей координат l_y и l_z ;

 $\sigma_{l_{v,z}}$ – среднеквадратичные отклонения этих величин.

№	Мо _{∆са} (рад)	σ _{Δca} (рад)	$Mo_{\Delta sa} (M/c^2)$	$oldsymbol{\sigma}_{\Delta sa} \ ({ t M/c}^2)$	N	Т _{ак} (с)	Т _{пол} (c)	Мо _{lz} (м)	σ_{l_z} (M)
1	$3 \cdot 10^{-4}$	$3 \cdot 10^{-4}$	0	$1.5 \cdot 10^{-3}$	5	25	321	415	261
2	$3 \cdot 10^{-4}$	$3 \cdot 10^{-4}$	0	$1.5 \cdot 10^{-3}$	6	25	377	581	364
3	$3 \cdot 10^{-4}$	$3 \cdot 10^{-4}$	0	$1.5 \cdot 10^{-3}$	10	25	602	1522	953
4	$5 \cdot 10^{-5}$	$10 \cdot 10^{-5}$	0	$8 \cdot 10^{-4}$	6	25	377	97	135
Ош	ибка при сп	377	0	56					

Таблица В

№	Mo _{△ca}	$\sigma_{\vartriangle ca}$	Mo _{△k}	$\sigma_{\scriptscriptstyle \Delta m{k}}$	Mo _{△sa}	$\sigma_{\Delta sa}$	N	Так	Тпол	Mo _{ly}	σ_{l_y}
	(рад)	(рад)			(M/c^2)	(M/c^2)		(c)	(c)	(M)	(M)
1	$3 \cdot 10^{-4}$	$3 \cdot 10^{-4}$	0	$5 \cdot 10^{-5}$	0	$1,5 \cdot 10^{-3}$	5	25	321	276	224
2	$3 \cdot 10^{-4}$	$3 \cdot 10^{-4}$	0	$5 \cdot 10^{-5}$	0	$1,5 \cdot 10^{-3}$	6	25	377	387	313
3	$3 \cdot 10^{-4}$	$3 \cdot 10^{-4}$	0	$5 \cdot 10^{-5}$	0	$1,5 \cdot 10^{-3}$	10	25	602	1015	817
4	$5 \cdot 10^{-5}$	$10 \cdot 10^{-5}$	0	$5 \cdot 10^{-5}$	0	$8 \cdot 10^{-4}$	6	25	377	65	129
	Ошибка при списании V_{ν} по окончании $T_{a\kappa}$								377	0	56
5	$3 \cdot 10^{-4}$	$3 \cdot 10^{-4}$	0	$2 \cdot 10^{-5}$	0	$1,5 \cdot 10^{-3}$	5	25	321	276	221
6	$3 \cdot 10^{-4}$	$3 \cdot 10^{-4}$	0	$2 \cdot 10^{-5}$	0	$1,5 \cdot 10^{-3}$	6	25	377	387	310
7	$3 \cdot 10^{-4}$	$3 \cdot 10^{-4}$	0	$2 \cdot 10^{-5}$	0	$1,5 \cdot 10^{-3}$	10	25	602	1015	808
8	$5 \cdot 10^{-5}$	$10 \cdot 10^{-5}$	0	$2 \cdot 10^{-5}$	0	$8 \cdot 10^{-5}$	6	25	377	65	120
Ош	Ошибка при списании V_y по окончании $T_{a\kappa}$ 377 0 56										

Как следует из полученных результатов, ошибка определения координат практически не зависит от дрейфов гироскопов. Основной вклад в отклонение координат вносят ошибки конструктивной привязки, смещения нулей акселерометров и погрешности масштабных коэффициентов гироскопов. Следствием погрешностей является возникновение кажущихся боковых линейных скоростей по окончании разгонного участка, в результате которых возникает ошибочный уход соответствующих координат от заданной траектории в течение полета. Списание этих скоростей по сигналам внешних источников информации, например GPS или ГЛОНАСС, позволяет в несколько раз повысить точность определения координат по сравнению с полностью инерциальным режимом.

5.7.СТАТИСТИЧЕСКИЙ КОНТРОЛЬ ПРОЦЕССА ПАЙКИ В ПЕЧАТНЫХ ПЛАТАХ

Обеспечение качества паяных соединений в печатных платах при производстве радиоэлектронной продукции в значительной мере связано с обеспечением соблюдения заданной температурно-временной характеристики (термопрофиля) в зоне пайки, пример который приведен ниже на рис. 1.

Планирование термопрофиля осуществляется на основании данных о типах паяемых компонентов, паяльной пасты, количестве зон нагрева, и т. д. В первую очередь контролируется максимальная температура плавления и время выдержки при этой температуре. На эти параметры задаются допуски, обеспечение которых - один из важнейших факторов качества паяного соединения.

Опытный технолог знает, что разная номенклатура компонентов на одном и том же типе печатной платы требует подстройки термопрофиля пайки. Особенно это актуально для многономенклатурных производств, где выпускаются изделия с широким спектром типов элементов в различных корпусах.

Заметим, что современные индукционные паяльные станции поверхностного монтажа имеют до 7 зон в туннеле прохождения печатной платы под монтаж. Отсюда имеется